



НАСТОЯЩИЙ ПЬЕМОНТИТ ИЗ РУДНИКА ПРАБОРНА (ЗАПАДНЫЕ АЛЬПЫ, ИТАЛИЯ)



К. г.-м. н.
В. И. Силаев
silaev@geo.komisc.ru



К. г.-м. н.
И. И. Голубева
petr@geo.komisc.ru



К. г.-м. н.
Ю. С. Симакова
crys@geo.komisc.ru



С. н. с
В. Н. Филиппов

В настоящее время в соответствии с укоренившейся петрографической традицией к пьемонтиту относят практически любой минерал группы эпидота, обладающий красным цветом и плеохроизмом в красных и розовых тонах [1, 2]. При этом содержанию собственно марганца в таких минералах практически не придается никакого значения [3]. Очевидно, что упомянутая традиция совершенно не отвечает правилу кристаллохимического классифицирования минералов, согласно которому, разделение минералов группы эпидота на виды должно производиться строго по степени заселения октаэдрических структурных позиций ионами Al^{3+} , Fe^{3+} , Mn^{3+} [4—6]. В соответствии с таким правилом к пьемонтиту следует относить только те минералы, в которых марганец составляет не менее 1/3 октаэдрических катионов.

Проведенный нами анализ показал, что среди выявленных на Урале «пьемонтитов» [7—13] кристаллохимическому критерию отвечают не более 12 %, представленных к тому же единичными анализами. В связи с этим возникают вопросы, существуют ли в природе объекты с массовым проявлением «настоящего» пьемонтита и каким именно обстановкам минералообразования они отвечают?

Предметом нашего исследования послужил переданный нам Н. Б. Кузнецовым (ГИН РАН) образец минерала, отобранный из отвалов древнего рудника Праборна на территории Западных Альп, которой и приписывают происхождение голотипа пьемонтита. Судя по современным геологическим данным [14], продуктивная минерализация на упомянутом руднике приурочива-

лась к линзовидному телу интенсивно омарганизованных кварцитов мощностью 4—8 м, залегавшему среди метаморфизованных пород офиолитовой ассоциации [14]. В составе внутренней, наиболее богатой части линзы («ядре») преобладал браунит, который в направлении к периферии сменялся марганцевыми и марганецсодержащими силикатами. Считается, что протолитом для марганцевых «метаморфогенных»rud послужили палеоокеанические образования, аналогичные современным умбритам и ЖМК. В пьемонтитовый парагенезис кроме браунита входят родохрозит и множество обогащенных марганцем пордообразующих силикатов (эпидот, гранаты, клино- и ортопироксены, родонит, слюды), замещающихся с поверхности Fe-Mn оксидами (рис. 1, 2). Сам пьемонтит под оптическим микроскопом характеризуется интенсивной окраской, обнаруживая при этом кон-

трастную ростовую зональность (рис. 3). В качестве поздней, наложенной на пьемонтит минерализации выступают тонкие прожилки почти безмарганцевого кальцита.

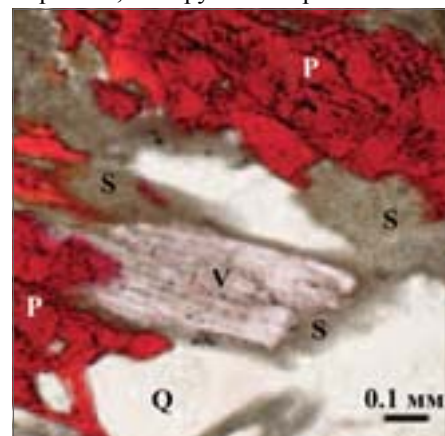
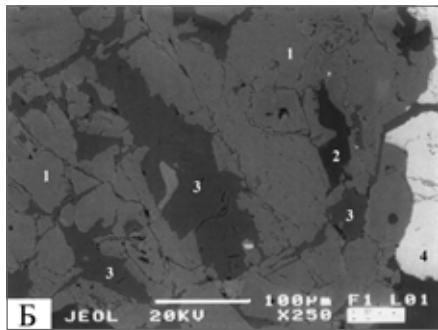
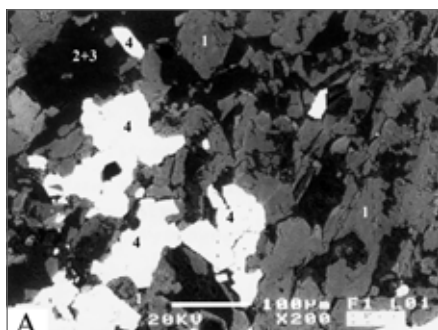


Рис. 1. Минеральный парагенезис пьемонтита в омарганизованных кварцитах рудника Праборна. Минералы: Q — кварц; S — альбит-клинопироксеновые микроагрегаты («симплектит»); V — фиолетовый марганецсодержащий диопсид (виолан); Р — пьемонтит. Петрографический шлиф, николи ||. Приведено по [14].

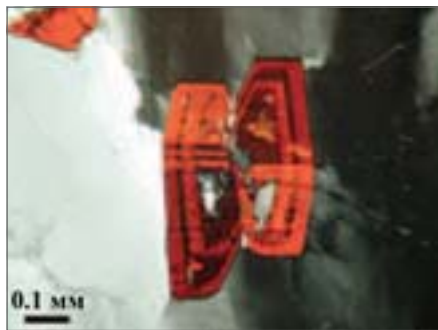


Рис. 3. Зональные кристаллы пьемонтита. Петрографический шлиф, николи Ч. Приведено по [14].



Переданный нам образец представляет собой гнездообразное выделение почти черного с бордовым оттенком минерала в белом тонко-среднезернистом кварците. Под оптическим микроскопом этот минерал обнаруживает сильный плеохроизм от ярко-красного по Ng до оранжево-желтого по Nr. Фазовая диагностика была осуществлена на автоматическом дифрактометре XRD-6000 Shimadzu в режиме фильтрованного CuK α -излучения. Полученные данные практически идеально совпали с характеристикой эталонного пьемонтита, заметно отклоняясь от таковых у эталонных эпидота и клиноцизита (табл. 1). Параметры э. я., рассчитанные на основе дифрактомет-

Спектры ИК-поглощения исследуемого минерала были получены на фурье-спектрометре FT-02 «Инфраклюм» фирмы «Люмекс». Использовались масляные суспензии. В спектрах обнаружились две очень характерные серии узких и хорошо разрешенных полос, обусловленных деформационными колебаниями химических связей Si—O в тетраэдрах SiO₄ и диортогруппах Si₂O₇ (рис. 4). Положения большинства зарегистрированных полос определено не совпадают с таковыми в ИК-спектрах клиноцизита и эпидота [15, 16], будучи несколько сдвинутыми в более длинноволновую область. Столь же своеобразным является и спектр ИК-поглощения пьемонти-

та из Праборны в области валентных колебаний связей O—H в гидроксильонах. Этому минералу отвечает слабо раздвоенная полоса,мещенная относительно той же полосы в спектре клиноцизита на 80—100 см⁻¹ в коротковолновую область.

Химический состав итальянского пьемонтита определен на сканирующем электронном микроскопе JSM-6400, оснащенном спектрометрами фирмы «Link» (программное обеспечение ISIS 300) и «Microspec». Согласно полученным результатам (табл. 2), исследуемый минерал характеризуется весьма стабильным составом (Vx у большинства компонентов, включая марганец, не превышает 10 %), а содержание MnO в нем не опускается ниже 12 мас. %. Значение формульного коэффициента Mn практически во всех анализах превышает 1, составляя в среднем 1.08 ± 0.09 . Очевидно, что полученные данные соответствуют именно кристаллохимическому критерию определения пьемонтитового минерального вида.

Расчеты показали, что в пьемонтите из Праборны содержание марганца обратно коррелируется с содержанием железа и практически не коррелируется с содержанием алюминия. Кроме того, в нем проявляется сильная обратная корреляция между алюминием и железом. Такая система статистических связей между октаэдрическими катионами приводит к предположению о том, что пьемонтитовая схема катионного изоморфизма является цепной [17], развиваясь как последовательность замещений вида Al³⁺ \leftarrow Fe³⁺ \leftarrow Mn³⁺. Важно также отметить следующее.

Таблица 1
Сопоставление диагностических дифракционных отражений
в рентгенограммах минералов группы эпидота

Эталоны*				Исследуемый минерал		h k l
Клиноцизит d, Å	Эпидот d, Å	Пьемонтит d, Å	I, у. е.	d, Å	I, у. е.	
5.01	24	5.03	26	5.03	28	5.03 21
3.47	27	3.49	32	3.5	35	3.49 24
3.2	17	Не обн.		Не обн.		3.195 11
Не обн.		2.92	20	То же		210
2.89	100	2.906	100	2.91	100	2.908 100
2.79	37	2.82	40	2.84	39	2.842 49
2.75	18	2.75	18	Не обн.		020
2.68	25	2.695	31	2.7	31	2.693 33
2.67	17	2.68	17	2.67	17	Не обн.
2.63	17	2.66	19	2.68	23	2.664 40
2.59	38	2.6	43	2.6	46	2.594 19
2.4	25	2.4	30	2.41	30	2.403 26
2.38	21	2.404	23	2.42	25	2.416 32
2.1	23	2.12	17	2.13	17	2.121 17
1.39	25	1.41	22	1.42	21	1.421 23
						040

* Данные приведены по интернет-базе рентгеноструктурных данных www—mincryst

тических данных, составляют (E): $a_0 = 8.86 \pm 0.09$; $b_0 = 5.683 \pm 0.004$; $c_0 = 10.171 \pm 0.06$. Приведенные параметры a_0 и c_0 практически не отличаются от соответствующих параметров клиноцизита и эпидота, а параметр b_0 — больше клиноцизитового на 1.6 %, что является вполне значимым, т. к. в 20 раз превышает аналитическую погрешность. Полученный результат обусловлен, очевидно, тем, что в структуре минералов группы эпидота колонки октаэдров AlO₆, в которых происходит замещение мелких ионов Al³⁺ на более крупные ионы Fe³⁺ и Mn³⁺, ориентируются именно вдоль оси «b». Это и делает упомянутый параметр наиболее чувствительным к «пьемонтитовой» (по В. С. Соболеву) схеме изоморфизма.

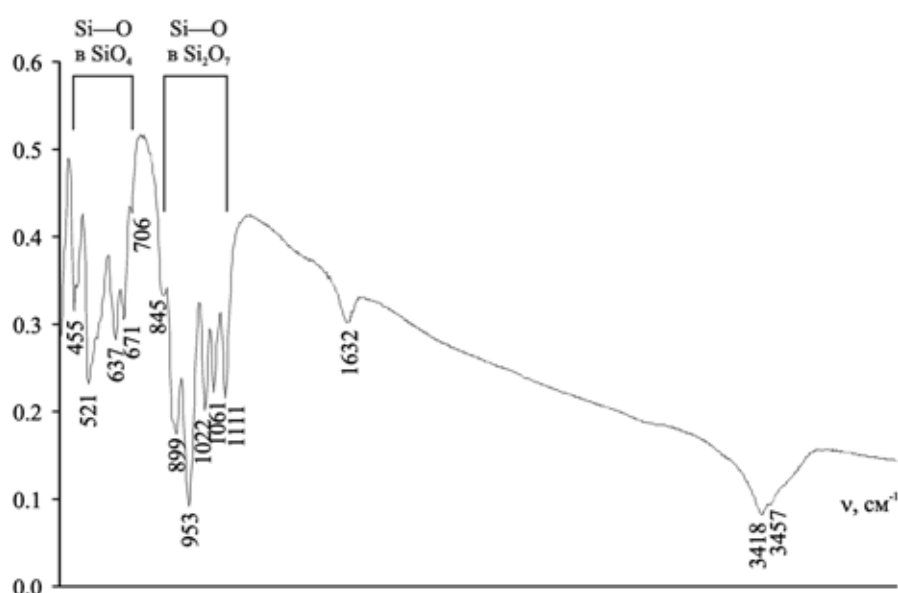


Рис. 4. Типичный спектр ИК-поглощения в пьемонтите



Таблица 2

Химический состав (мас. %) пьемонтита из рудника Праборна

№ п/п	SiO ₂	Al ₂ O ₃	Fe ₂ O ₃	MnO	CaO	SrO	Сумма
1	33.78	17.1	2.58	13.88	21.2	1.69	90.23
2	33.92	17.35	2.58	13.7	21.71	Не обн.	89.26
3	34.37	17.54	1.46	14.96	21.21	То же	89.54
4	39.17	21.42	1.66	15.06	21.01	2.26	100.58
5	32.89	16	2.07	14.88	20.81	1.69	88.34
6	34.19	14.34	4.54	16.47	18.7	4.47	92.71
7	31.66	16.25	1.92	13.14	18.55	0.97	82.49
8	34.96	17.83	2	14.77	20.12	2.75	92.43
9	33.94	17.22	1.3	15.03	21.71	Не обн.	89.26
10	33.96	16.4	1.6	15.93	20.46	1.25	89.6
11	32.91	14.52	5.48	13.86	18.45	4.26	89.48
12	34.05	17.64	1.51	14.39	21.66	Не обн.	89.25
13	34.09	17.01	1.66	15.18	20.3	2.57	90.81
14	32.99	13.91	4.31	15.85	18.59	3.91	89.56
15	34.03	16.76	1.41	15.69	20.51	1.98	90.38
16	33.31	16.25	5.37	12.03	18.72	3.96	89.64
17	33.88	16.99	4.33	12.6	19.85	3.28	90.93
18	34.24	17	1.97	15.11	19.72	2.26	90.3
Min	31.66	13.91	1.3	12.34	18.45	0	82.49
Max	39.17	21.42	5.48	16.47	21.71	4.47	100.58
\bar{X}	34.02	16.75	2.65	14.6	20.18	2.07	90.27
S_x	1.48	1.63	1.44	1.14	1.17	1.52	3.32
V_x , %	4	10	54	8	6	73	4

Примечание. Min—Max — размах колебаний; \bar{X} — среднее арифметическое; S_x — стандартное отклонение; V_x — коэффициент вариации

Формулы:

- 1 — $(\text{Ca}_{2.02}\text{Sr}_{0.1})_{2.12}(\text{Al}_{1.79}\text{Fe}_{0.17}\text{Mn}_{1.04})_3[\text{Si}_3\text{O}_{11}]\text{O}(\text{OH})_{1.12}$;
- 2 — $\text{Ca}_{2.06}(\text{Al}_{1.8}\text{Fe}_{0.17}\text{Mn}_{1.03})_3[\text{Si}_3\text{O}_{11}]\text{O}(\text{OH})_{1.06}$;
- 3 — $\text{Ca}_{1.98}(\text{Al}_{1.9}\text{Fe}_{0.09}\text{Mn}_{1.01})_3[\text{Si}_3\text{O}_{11}]\text{O}(\text{OH})_{0.98}$;
- 4 — $(\text{Ca}_{1.72}\text{Sr}_{0.1})_{1.82}(\text{Al}_{1.93}\text{Fe}_{0.1}\text{Mn}_{0.97})_3[\text{Si}_3\text{O}_{11}]\text{O}(\text{OH})_{0.82}$;
- 5 — $(\text{Ca}_{2.03}\text{Sr}_{0.09})_{2.12}(\text{Al}_{1.72}\text{Fe}_{0.14}\text{Mn}_{1.14})_3[\text{Si}_3\text{O}_{11}]\text{O}(\text{OH})_{1.12}$;
- 6 — $(\text{Ca}_{1.76}\text{Sr}_{0.23})_{1.99}(\text{Al}_{1.48}\text{Fe}_{0.3}\text{Mn}_{1.22})_3[\text{Si}_3\text{O}_{11}]\text{O}(\text{OH})_{0.99}$;
- 7 — $(\text{Ca}_{1.88}\text{Sr}_{0.05})_{1.93}(\text{Al}_{1.81}\text{Fe}_{0.14}\text{Mn}_{1.05})_3[\text{Si}_3\text{O}_{11}]\text{O}(\text{OH})_{0.93}$;
- 8 — $(\text{Ca}_{1.85}\text{Sr}_{0.14})_{1.99}(\text{Al}_{1.8}\text{Fe}_{0.13}\text{Mn}_{1.07})_3[\text{Si}_3\text{O}_{11}]\text{O}(\text{OH})_{0.99}$;
- 9 — $\text{Ca}_{2.06}(\text{Al}_{1.79}\text{Fe}_{0.09}\text{Mn}_{1.12})_3[\text{Si}_3\text{O}_{11}]\text{O}(\text{OH})_{1.06}$;
- 10 — $(\text{Ca}_{1.94}\text{Sr}_{0.06})_2(\text{Al}_{1.7}\text{Fe}_{0.11}\text{Mn}_{1.19})_3[\text{Si}_3\text{O}_{11}]\text{O}(\text{OH})$;
- 11 — $(\text{Ca}_{1.8}\text{Sr}_{0.22})_2(\text{Al}_{1.56}\text{Fe}_{0.38}\text{Mn}_{1.06})_3[\text{Si}_3\text{O}_{11}]\text{O}(\text{OH})_{1.02}$;
- 12 — $\text{Ca}_{2.04}(\text{Al}_{1.43}\text{Fe}_{0.1}\text{Mn}_{1.07})_3[\text{Si}_3\text{O}_{11}]\text{O}(\text{OH})_{1.04}$;
- 13 — $(\text{Ca}_{1.9}\text{Sr}_{0.13})_2(\text{Al}_{1.76}\text{Fe}_{0.11}\text{Mn}_{1.11})_3[\text{Si}_3\text{O}_{11}]\text{O}(\text{OH})_{1.04}$;
- 14 — $(\text{Ca}_{1.81}\text{Sr}_{0.21})_2(\text{Al}_{1.49}\text{Fe}_{0.29}\text{Mn}_{1.22})_3[\text{Si}_3\text{O}_{11}]\text{O}(\text{OH})_{1.02}$;
- 15 — $(\text{Ca}_{1.94}\text{Sr}_{0.1})_2(\text{Al}_{1.74}\text{Fe}_{0.09}\text{Mn}_{1.17})_3[\text{Si}_3\text{O}_{11}]\text{O}(\text{OH})_{1.04}$;
- 16 — $(\text{Ca}_{1.81}\text{Sr}_{0.21})_2(\text{Al}_{1.72}\text{Fe}_{0.36}\text{Mn}_{0.92})_3[\text{Si}_3\text{O}_{11}]\text{O}(\text{OH})_{1.02}$;
- 17 — $(\text{Ca}_{1.83}\text{Sr}_{0.17})_2(\text{Al}_{1.77}\text{Fe}_{0.29}\text{Mn}_{0.94})_3[\text{Si}_3\text{O}_{11}]\text{O}(\text{OH})$;
- 18 — $(\text{Ca}_{1.85}\text{Sr}_{0.11})_2(\text{Al}_{1.75}\text{Fe}_{0.13}\text{Mn}_{1.12})_3[\text{Si}_3\text{O}_{11}]\text{O}(\text{OH})_{0.96}$.

Максимальное значение формульного коэффициента иона марганца в минерале из Праборны достигает 1.22. Это подтверждает выводы о том, что в пьемонтиите ионами Mn³⁺ могут заселяться позиции не только M3, но и M1. Полученные нами данные свидетельствуют о том, что степень заселения последней позиции может достигать по крайней мере 25 %.

Важнейшей кристаллохимической примесью исследуемого минерала является стронций, ионы которого замещают ионы кальция в одной из позиций А [18]. Известно, что этот элемент достаточно часто обнаруживается не

только в собственно пьемонтиите, но также в клиноцизите и эпидоте [19]. При этом эмпирически подтвержденная максимальная степень замещения Sr²⁺ → Ca²⁺ в этих минералах достигает 12 % [20].

Проведенный нами анализ показал, что содержание SrO в пьемонтиите из Праборны достигает 4.5 мас. %, что почти отвечает установленному предельному насыщению стронцием минералов группы эпидота. При этом примесь стронция в индивидах исследуемого пьемонтиита распределется весьма неравномерно, что отражается мозаичными картинами их

неоднородности под электронным микроскопом (рис. 5). Согласно расчетам, стронций в пьемонтите связан с кальцием очень сильной обратной корреляцией ($r = -0.8$), что, очевидно, согласуется с упомянутыми выше кристаллохимическими представлениями.

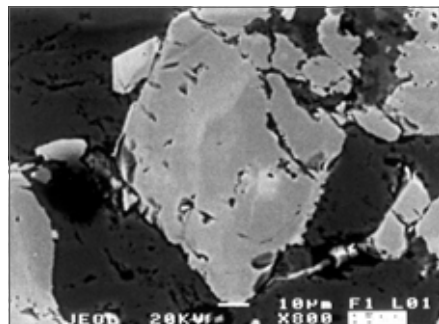


Рис. 5. Неоднородность распределения стронция в индивидах пьемонтита. РЭМ-изображение в режиме упруго отраженных электронов

Таким образом, результаты проведенных исследований приводят к заключению о том, что по своим кристаллохимическим свойствам пьемонти из Праборны существенно отличается как от клиноцизита, так и от эпидота. На разработанной нами классификационной диаграмме (рис. 6) поле точек состава итальянского пьемонтита контрастно обособляется от точек состава уральских марганецодержащих клиноцизитов и эпидотов, сосредоточиваясь строго в секторе, отвечающем составу минерала с принципиальной формулой $\text{Ca}_2(\text{Al}_{2-1}\text{Fe}_{0-1}\text{Mn}_{2-1})_3[\text{Si}_3\text{O}_{12}](\text{OH})$. Нам представляется, что именно такой минерал и должен определяться как пьемонтит. Минералы с меньшим содержанием марганца следует относить не к пьемонтиту, а к мanganклиноцизиту и мanganэпидоту, которые мы предлагаем также рассматривать в ранге минеральных видов.

Согласно экспериментальным данным, обогащение минералов группы эпидота трехвалентным марганцем происходит только в окислительных условиях и растет с увеличением fO₂ [21]. С другой стороны, появление в природных объектах мanganклиноцизита или мanganэпидоту может свидетельствовать об эпигенетических процессах омарганцевания, а образование пьемонтита может являться прямым индикатором наложенного марганцевого оруденения, как это было показано нами ранее на примере минералов группы аксинита [22].

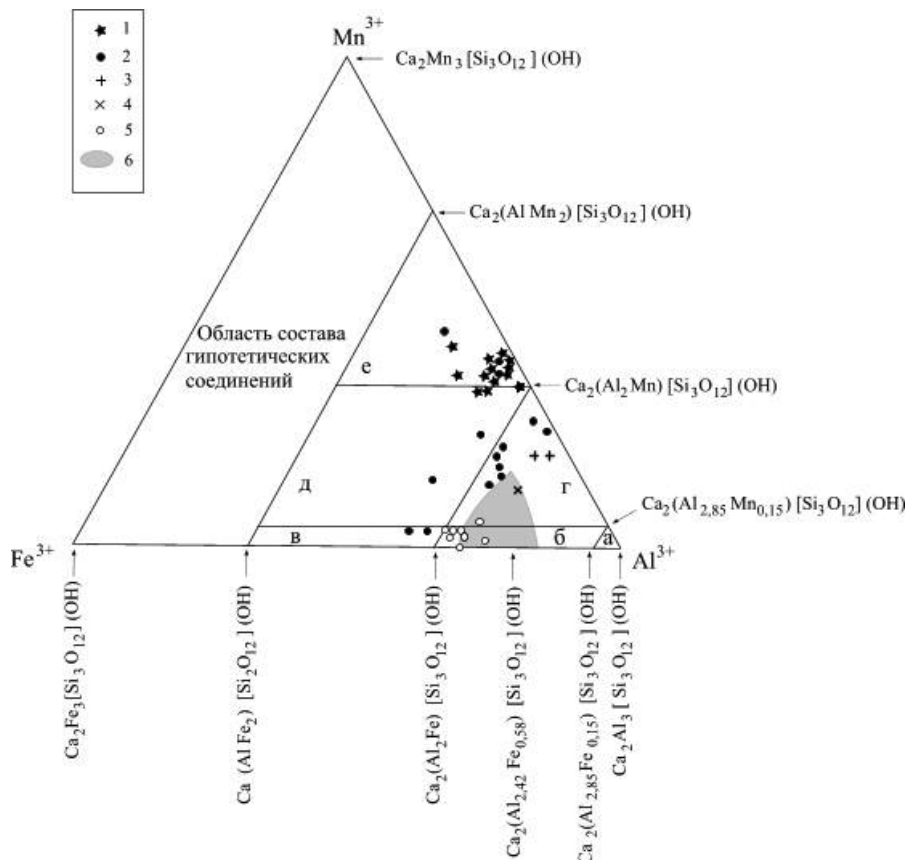


Рис. 6. Марганецодержащие минералы группы эпидота в рамках кристаллохимической номенклатуры: 1 — исследуемый пьемонтит; 2—4 — «пьемонтиты» из уральских месторождений по [7—13]; 5 — «пьемонтит» из кварцевых жил с черновитом на Приполярном Урале; 6 — манганклиноцизит из омарганцованных риолитов на Приполярном Урале. Минеральные виды: а — цоизит, б — клиноцизит, в — эпидот, г — манганклиноцизит, д — мангандиопсид, е — пьемонтит

ЛИТЕРАТУРА

1. Вознесенский С. Д. Пьемонтитовые сланцы левобережья р. Хемчик в Западной Туве // Записки ВМО, 1961. Ч. 90, № 3. С. 345—348.
2. Jimenez-Millan J., Velilla N. Compositional variation of piemontites from different Mn-rich rock-types of the Iberian Massif (SW Spain) // Eur. J. Mineral., 1993. V. 5. P. 961—970.
3. Минералы. Справочник. Т. III. Вып. 1. М.: Наука, 1972. С. 709—749.
4. Catti M., Ferraris G., Ivaldi G. On the crystal chemistry of strontian piemontites with some remarks on the nomenclature of the epidote group / N. Jb. Mineral. Mh., 1989. P. 357—366.
5. Семкова Т. А., Брусницын А. И. К вопросу о номенклатуре марганецодержащих минералов группы эпидота // Минералогические музеи. СПб: Изд-во СПб ун-та, 1998. С. 113—114.
6. Силаев В. И., Голубева И. И. Полярноуральский манганклиноцизит в связи с номенклатурой минералов группы эпидота // Вестник Института геологии Коми НЦ УрО РАН, 2006. № 2. С. 3. 7. Брусницын А. И., Балашова Ю. С., Гаврюченкова О. В. и др. Самородная медь из марганцевых пород Биккуловского месторождения (Южный Урал) // Материалы IV Всероссийского совещания. Т. II. Миасс: Изд-во ИМин УрО РАН, 2003. С. 29—35.
8. Брусницын А. И., Папчинская М. А., Несторов А. Р. Новые данные о Кусимовском марганцевом месторождении // Металлогенез древних и современных океанов—2000. Открытие, оценка, освоение месторождений. Миасс: Изд-во ИМин УрО РАН, 2000. С. 72—77.
9. Брусницын А. И., Семкова Т. А., Жуков И. Г. Пьемонтит из Уразовского марганцевого месторождения (Южный Урал) // Уральская летняя минералогическая школа—97: Материалы межвузовской конференции. Екатеринбург: Изд-во УГГА, 1997. С. 213—215.
10. Литошко Д. Н., Никитина В. Д. Высокомарганцовистый пьемонтит из метасоматитов Полярного Урала // Минералогическая кристаллография и свойства минералов. Сыктывкар: Коми ФАН СССР, 1984. С. 110—112.
11. Пирожок П. И., Перова Е. Н., Орлов М. Л. Марганцевая минерализация Учалинского медноколчеданного месторождения // Металлогенез древних и современных океанов—2000. Открытие, оценка, освоение месторождений. Миасс: Изд-во ИМин УрО РАН, 2000. С. 78—82.
12. Плетнев П. А. Минералогия гондитов и метавулканитов пренит-пуипелиитовой фации Учалинского колчеданного месторождения, Южный Урал // Уральская летняя минералогическая школа—95: Материалы межвузовской конференции. Екатеринбург: Изд-во УГГА, 1995. С. 60—64.
13. Юдович Я. Э., Козырева И. В., Швецова И. В. и др. Марганцовистые редкоземельные стяжения в метаморфических сланцах на Приполярном Урале // Доклады РАН, 2000. Т. 370, № 5. С. 658—660.
14. Martin S., Godard G., Rebey G. The Subducted Tethys in the Aosta Valley (Italian Western Alps) // Field Trip Guide Book-B02. 32nd International Geological Congress. Florence-Italy, 2004. P. 1—38.
15. Андреенко Э. Д., Плюснина И. И. О корреляции химического состава и ИК-спектров минералов группы эпидота // Вестник МГУ. Геология, 1965. № 4.
16. Силаев В. И., Ширяева Л. Л., Никитина В. Д. Типоморфизм состава и инфракрасных спектров эпидота из рудных месторождений и рудопроявлений Полярного Урала // Минералогическая кристаллография и свойства минералов. Сыктывкар: Коми ФАН СССР, 1984. С. 104—109.
17. Силаев В. И., Удоратина О. В. Цепные схемы катионного изоморфизма в карбонатах как проявление нанометрической неоднородности минералов // Наноминералогия. Ультра- и микродисперсное состояние минерального вещества. СПб: Наука, 2005. С. 176—202.
18. Bonazzi P., Garbarino C., Menchetti S. Crystal Chemistry of piemontites: REE-bearing piemontite from Monte Brugiana, Appi Apuane, Italy // Eur. J. Mineral., 1992. V. 4. P. 23—33.
19. Grapes R., Watanabe T. Al—Fe³⁺ and Ca—Sr²⁺ epidotes in metagrewacke—quartzofeldspathic schist, Southern Alps, New Zealand // Am. Mineral., 1984. V. 64. № 5—6. P. 490—498.
20. Каюрова М. М., Зайцева Р. И. Стронциевый пьемонтит и бементит из месторождения Ушкатьын III (Центральный Казахстан) // Минералогия и геохимия Центрального Казахстана и Алтая. Алма-Ата, 1971. С. 52—57.
21. Keskinen M., Lion J. G. Synthesis and stability relations of Mn-Al piemontite, Ca₂MnAl₂Si₃O₁₂(OH) // Amer. Miner., 1979. V. 64. P. 317—328.
22. Силаев В. И., Янолова Л. А. Высокомарганцевые аксины: химический состав, изоморфизм, номенклатура // Сыктывкарский минералогический сборник № 30. Сыктывкар: Геопринт, 2001. С. 93—104.